

Bases d'arithmétique pour le calcul géométrique

Sylvain Pion

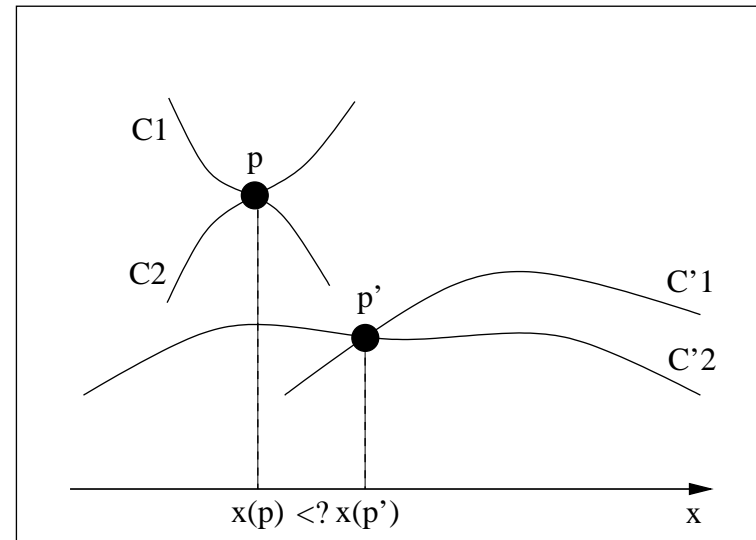
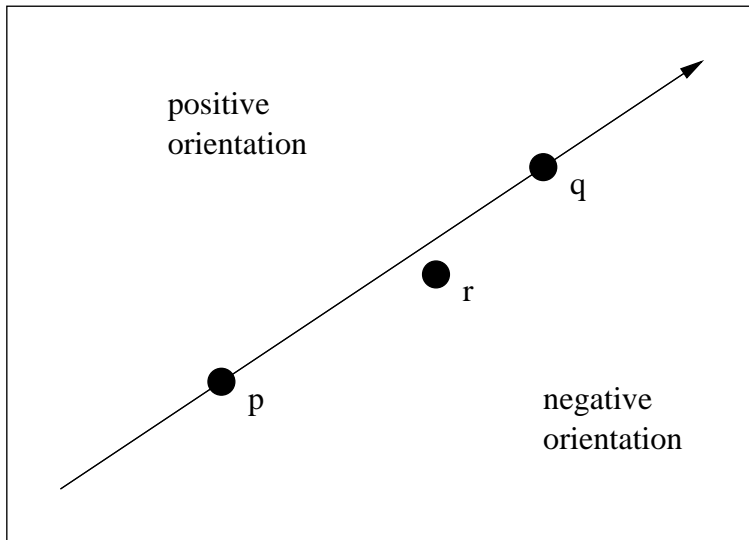
INRIA Sophia Antipolis

Plan

- Liens entre la géométrie et l'arithmétique
- Calcul flottant
- Calcul exact
- Calcul modulaire
- Bornes de séparations
- Filtres arithmétiques
- Implantation dans CGAL

Introduction

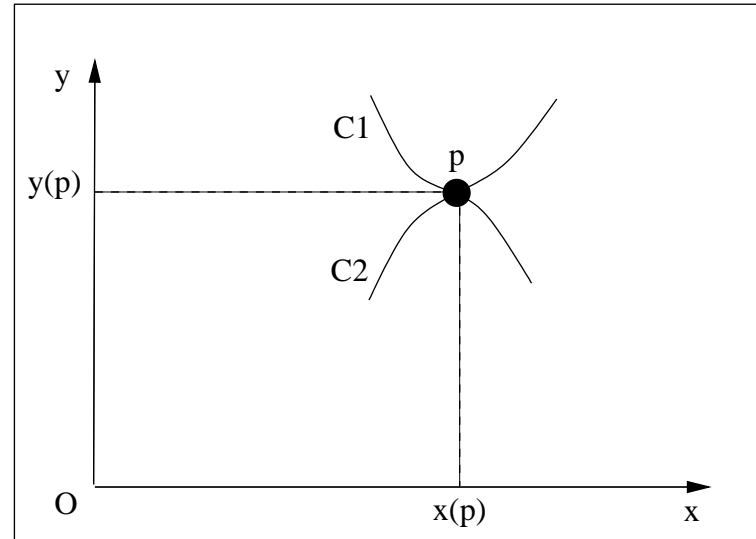
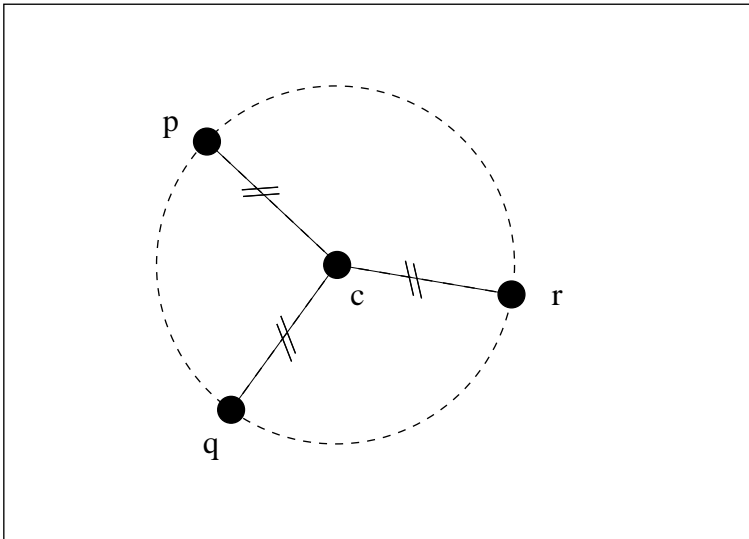
Exemples de prédicats géométriques



$$\text{orientation}(p, q, r) = \text{sign}((x(p) - x(r)) \times (y(q) - y(r)) - (x(q) - x(r)) \times (y(p) - y(r)))$$

Prédicat de **degré 2**.

Exemples de constructions géométriques



De la géométrie à l'arithmétique

Algorithme géométrique

⇒ Opérations géométriques (prédicats & constructions)

⇒ Opérations algébriques sur les coordonnées/coefficients

⇒ Opérations arithmétiques ($+$, $-$, \times , \div , $\sqrt{\dots}$)

Arithmétique \Rightarrow Géométrie

Coût de l'arithmétique \Rightarrow Complexité en temps des algorithmes géométriques

Arithmétique *approchée* \Rightarrow problèmes de *robustesse* des algorithmes géométriques

Le modèle Real-RAM

Modèle de calculateur réel à accès aléatoire (RAM = Random access machine).

Modèle théorique du comportement de l'arithmétique réelle sur ordinateur.

- Toutes les **opérations** arithmétiques sur les réels coûtent un **temps $O(1)$** (et sont exactes).
- Toutes les variables réelles occupent **$O(1)$ espace mémoire**.

Les analyses de complexité des algorithmes géométriques sont faites traditionnellement dans ce modèle.

Relation avec la réalité des ordinateurs ?

Deux approches :

- Calcul flottant, **approché**.
- Calcul exact, **plus lent**.

Pour la géométrie : quelle approche est-elle la meilleure en pratique ?

Quel est le véritable coût de l'approche exacte ?

Calcul flottant

Standard IEEE 754

Standardisation des opérations flottantes de base des ordinateurs (1985).

Représentation machine de $(-1)^s \times 1.m \times 2^e$ (pour la double précision, 64 bits):

s	exposant	mantisse
1	11	52

- 5 opérations : $+$, $-$, \times , \div , $\sqrt{\quad}$
- 4 modes d'arrondis : au plus proche (nombre représentable), vers 0, vers $+\infty$, vers $-\infty$.
- Valeurs spéciales : $+\infty$, $-\infty$, dénormaux, NaNs.
- Relativement bien suivie par l'industrie (langages, compilateurs, processeurs).

Voir : <http://stevehollasch.com/cgindex/coding/ieeefloat.html>

Erreurs d'arrondis

Définition : x étant un flottant positif, et y le plus petit flottant plus grand que x , on définit $\text{ulp}(x) = y - x$ (Unit in the Last Place).

Rq 1 : $\text{ulp}(x)$ est une puissance de 2 (ou ∞).

Rq 2 : Dans les cas normaux : $\text{ulp}(x) \simeq x2^{-53}$

Propriété : Pour toutes les opérations $+$, $-$, \times , \div , $\sqrt{\quad}$, la différence entre la valeur calculée r et la valeur exacte, autrement dit, l'**erreur d'arrondi**, est majorée par : $\text{ulp}(r)/2$ pour le mode d'arrondi au plus proche, et $\text{ulp}(r)$ sinon.

Attention : Ceci n'est valable que pour des opérations prises une à une.

Quelques propriétés du calcul flottant

Il n'y a pas d'underflow pour $+$, $-$:

$$a - b = 0 \iff a = b$$

Détection des NaNs:

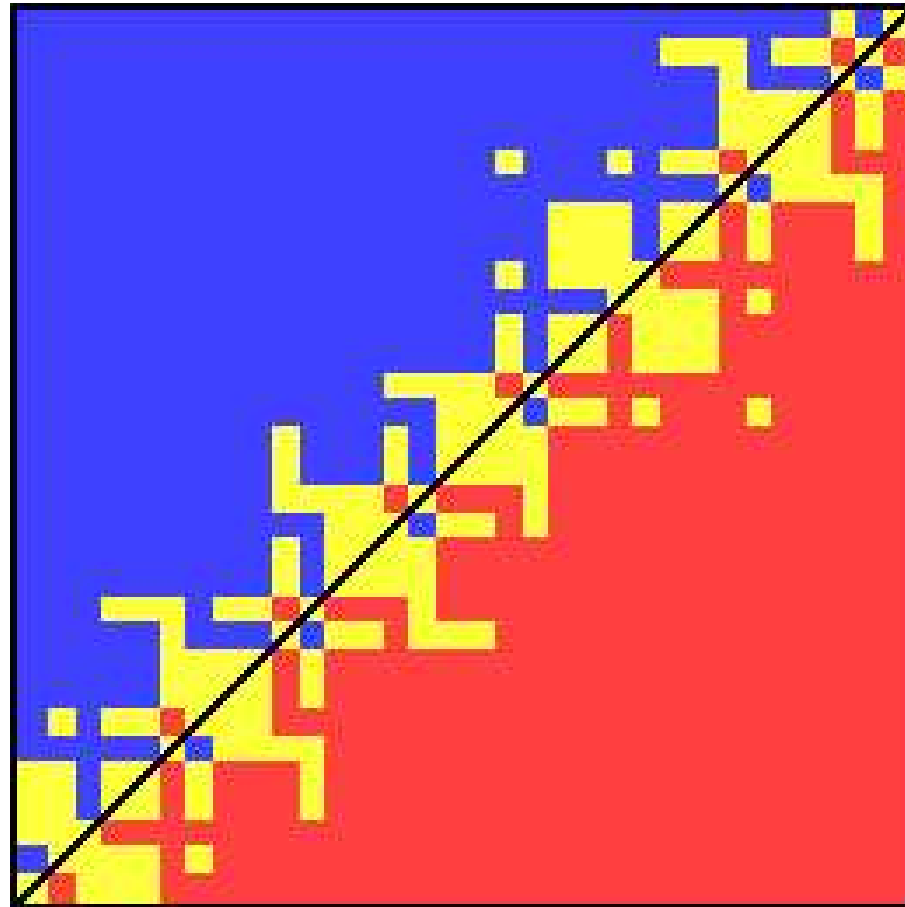
$$a = a \iff a \text{ n'est pas un NaN}$$

Monotonicité pour un mode d'arrondi donné:

$$a + b \leq c + d \text{ calculé} \iff a + b \leq c + d \text{ exact}$$

(idem pour les autres opérations)

Géométrie du prédicat orientation approché



[Kettner-Mehlhorn-Schirra-P-Yap 04]

Calcul multi-précision

Précision multiple

Calcul exact sur des entiers (\mathbb{Z}) :

- $O(n = \log N)$ mémoire
- $+, -$: $O(n)$ temps.
- \times, \div :
 - $O(n^2)$ si n petit
 - $O(n^{\approx 1.5})$ si n moyen (Karatsuba)
 - $O(n \log n \log \log n)$ si n grand (Schönhage Strassen)

Évaluation exacte de polynômes sur des entrées entières de taille $O(n)$: $\geq O(nd)$

Bibliothèques : GMP, LEDA, CGAL, BigNum...

Multiplication de Karatsuba

On coupe les opérandes x et y en deux parties de tailles égales (bits de poids forts et faibles) :

forts	faibles
x_1	x_0

Soit b la puissance de 2 telle que $x = x_1b + x_0$ et $y = y_1b + y_0$. On voit que :

$$xy = (b^2 + b)x_1y_1 - b(x_1 - x_0)(y_1 - y_0) + (b + 1)x_0y_0$$

Donc, on utilise 3 multiplications de nombres de taille $n/2$ (au lieu de 4).

Complexité asymptotique : $O(n^{\log(3)/\log(2)=1.585})$

Pour en savoir plus : <http://www.swox.com/gmp/manual/Algorithms.html>

Calcul modulaire

Calcul modulaire

Autre représentation des entiers qui permet d'effectuer des additions et multiplications en temps linéaire.

Théorème des restes chinois: Soit $m_1 \dots m_n$ des entiers premiers entre eux, on considère l'homéomorphisme d'anneaux :

$$(\mathbb{Z}/M\mathbb{Z}, +, \times) \sim \prod_{i=1}^n (\mathbb{Z}/m_i\mathbb{Z}, +, \times)$$

où $M = \prod_{i=1}^n m_i$.

On peut effectuer les opérations $(+, -, \times)$ dans $\mathbb{Z}/m_i\mathbb{Z}$ pour tous les m_i , puis récupérer la valeur dans $\mathbb{Z}/M\mathbb{Z}$.

Calcul modulaire : prérequis

- Une **borne** sur le résultat doit être connue **avant** de commencer les calculs
- **Pas adaptatif** : la valeur (et le signe) du résultat dépend de tous les moduli
- **Pas d'algorithmes de division ou de racine carrée**
- Les **algorithmes de conversion des valeurs** sont en $O(n \log n)$ (théorique) à $O(n^2)$ (pratique)

Calcul modulaire : avantages

- **parallelisable**
- $(+, -, \times)$ en temps **linéaire**,
environ 8 fois plus lent que du calcul flottant,
multiplié par le degré du polynôme
- Tests d'**égalité** très rapide

Calcul modulaire : exemple

$$m_i = 134217689 = 2^{27} - 39$$
$$a, b, c, d \in \mathbb{Z}/m_i\mathbb{Z} \equiv [-m_i/2; m_i/2]$$
$$|a \times d - b \times c| < 2^{53}$$

```
double MOD_det2x2 (double a, b, c, d)
{
    double det = a*d-b*c;
    return det - M_i * round (det * M_i_inv);
}
```

Finalemment :

Flottant : 2 × , 1 +
Modulaire : 4 × , 4 +
Decoupage : 2 × , 4 +, overflow. . .

Calcul modulaire : calcul du signe (Lagrange)

$$M = \prod_{i=1}^n m_i, \quad |x| < \frac{M}{2}, \quad \forall i \ x \equiv x_i [m_i]$$

$$x \equiv \left(\sum_{i=1}^n \left(x_i w_i^{(n)} [m_i] \right) \frac{M}{m_i} \right) [M], \quad w_i^{(n)} \equiv \left(\frac{M}{m_i} \right)^{-1} [m_i]$$

$$\frac{x}{M} = \text{Frac} \left(\frac{x}{M} \right) = \text{Frac} \left(\sum_{i=1}^n \frac{x_i w_i^{(n)} [m_i]}{m_i} \right)$$

$$\text{Erreur} : \epsilon = n2^{-54}$$

Si la valeur calculée est plus grande que l'erreur, on obtient le signe, sinon :

$$|x| < 2\epsilon M < \frac{M}{2m_n}$$

Calcul modulaire : signes de déterminants

d	grands	moyens	0	0 proba
2	7.5	8.0	8.8	4.8
3	15.5	18.1	18.9	7.3
4	32.5	36.3	38.9	12.5
5	109	116	119	26.8
6	184	192	196	40.5
10	1009	1033	1038	134
14	3320	3360	3380	324
20	16900	17000	17100	870

- entrées sur $b = 53$ bits
- complexité théorique $O(bd^4 \log d)$
- temps en microsecondes sur UltraSparc @ 200MHz

Calcul modulaire : comparaisons

d	Flottant	MOD	GMP
2	0.2	7.6	6
3	0.4	16	33
4	0.8	36	136
5	2.2	75	435
6	6.3	186	1064
10	25.8	1021	10810
20	190	17000	431000

- Flottant : calcul inexact
- MOD : calcul modulaire exact
- GMP : calcul exact classique

Nombres rationnels

Juste une paire d'entiers exacts : numérateur / dénominateur.

Attention : même l'addition double le nombre de bits !

On peut utiliser la normalisation (pas gratuit...) pour réduire la taille size :

- Soit on est chanceux (probabilité faible).
- Soit on a râté une simplification algébrique.
- Autres cas ?

Sinon : croissance **exponentielle** avec la profondeur des opérations.

Nombres à virgule flottante multi-précision

$m2^e$, où m et e sont des entiers multi-précision.

On peut adjoindre une précision p à x telle que :

$$m2^e - 2^p \leq x \leq m2^e + 2^p$$

p peut être fixée à chaque opération, ou globalement.

p peut être propagée.

Bibliothèques : MPFR, CGAL::MP_Float.

Propagation d'erreurs

Soit (x, p_x) un nombre flottant multi-précision et une précision associée correspondant à un réel X . Idem pour (y, p_y) .

Alors on peut obtenir une approximation de $X + Y$ par $(x + y, p_{x+y})$, où:

$$|(X - x) + (Y - y)| \leq |X - x| + |Y - y|$$

$$|(X - x) + (Y - y)| \leq 2^{p_x} + 2^{p_y}$$

$$|(X + Y) - (x + y)| \leq 2^{p_{x+y}}$$

$$\implies p_{x+y} = 1 + \max(p_x, p_y)$$

Ceci est valable si $x + y$ n'est pas arrondi. Sinon, il faut en tenir compte.

Bornes de séparation

Calcul adaptatif et Bornes de séparations

Calcul entier exact : on calcule **tous les bits** de l'expression.

Si on ne veut que le signe (ou une approximation), on ne veut **que les bits de poids forts**.

Ex: calcul du signe : 1 bit de précision relative suffit.

Comment calculer juste les bits dont on a besoin, et pas beaucoup plus ?

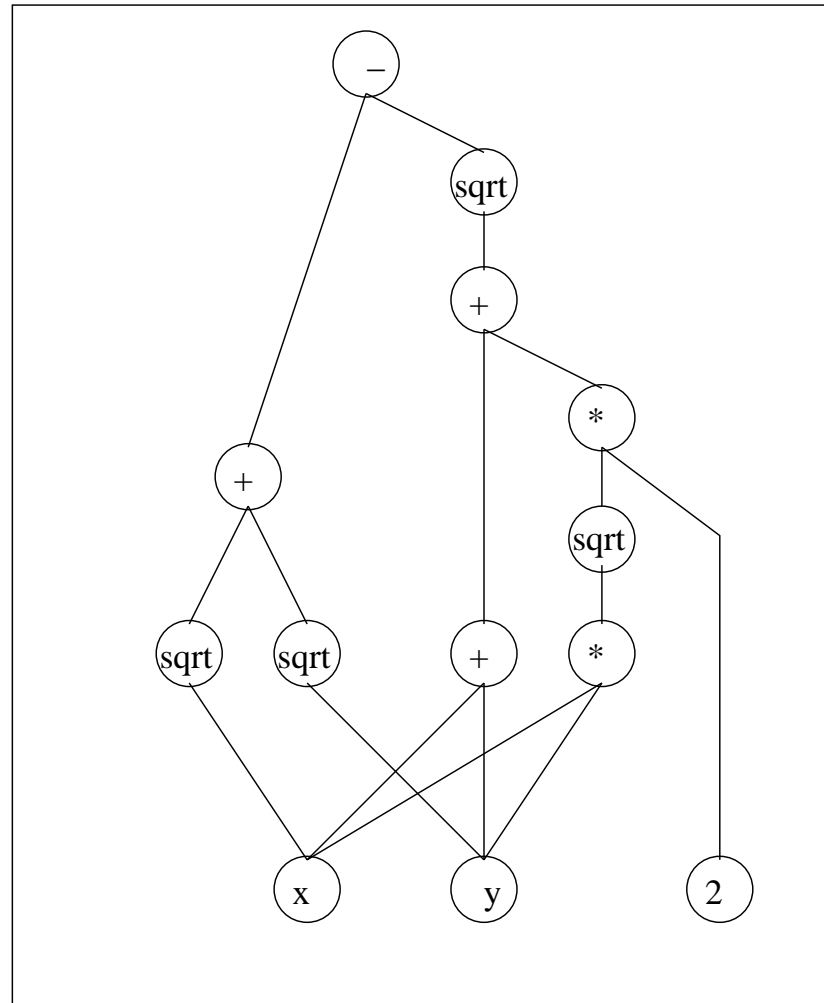
Évaluation paresseuse/adaptative :

Entrées de l'expression : entiers

Composée des opérations (DAG) : $+$, $-$, \times , $/$, $\sqrt[p]{}$, \diamond

Recherche en cours : nombres algébriques définis par leurs polynômes.

Exemple : $\text{signe}(\sqrt{x} + \sqrt{y} - \sqrt{x + y + 2\sqrt{xy}})$



Principe

On évalue l'expression numériquement à une certaine précision :

$$|E - E_p| < \epsilon_p$$

Si la précision est insuffisante pour déterminer le signe de manière certaine, on recommence en évaluant plus précisément.

$$|E_p| > \epsilon_p?$$

Problème : si la valeur vaut **exactement zéro**, cette itération **boucle indéfiniment**.

Quand s'arrêter ?

Définition : une borne de séparation d'une expression E est une valeur $B(E)$ telle que :

$$|E| < B(E) \Rightarrow E = 0$$

Complexité : Au pire (valeur nulle), il faudra itérer jusqu'à une précision inférieure à $B(E)$ pour calculer le signe de E .

On sait calculer des bornes de séparations pour les **expressions algébriques**.

Il existe **3 types de bornes** de séparations faciles à calculer non-comparables :

- Burnikel, Funke, Mehlhorn, Schirra, Schmitt "BFMSS" [2002]
- Li, Yap [2001]
- Mignotte "Degree-Measure" [1982]

Borne BFMSS

On note $E = \frac{U}{L}$. U, L sont des entiers algébriques, on maintient des bornes u, ℓ sur leurs conjugués avec les règles suivantes :

E	$u(E)$	$\ell(E)$
entier n	$ n $	1
$E' \pm E''$	$u' \ell'' + \ell' u''$	$\ell' \ell''$
$E' \times E''$	$u' u''$	$\ell' \ell''$
$E' \div E''$	$u' \ell''$	$\ell' u''$
$\sqrt[p]{E'}$	$\min(\sqrt[p]{u' \ell'^{p-1}}, u')$	$\min(\ell', \sqrt[p]{u'^{p-1} \ell'})$
$\diamond(j, F_n, F_{n-1}, \dots, F_0)$

On obtient une borne de séparation sur E par :

$$\frac{1}{u(E)^{D(E)-1} \ell(E)}$$

Exemple

$$\text{signe}(\sqrt{x} + \sqrt{y} - \sqrt{x + y + 2\sqrt{xy}})?$$

Avec $x = \frac{a}{b}$ et $y = \frac{c}{d}$, a, b, c, d entiers $< 2^L$.

Bornes de séparation :

- BFMSS : $2^{-(96L+60)}$
- Li-Yap : $2^{-(28L+60)}$

Version binaire

On remarque que si $\frac{p}{q} \neq \frac{p'}{q'}$, alors :

$$\left| \frac{p}{q} - \frac{p'}{q'} \right| \geq \frac{1}{qq'}$$

Mais si, de plus, $q = 2^n$ et $q' = 2^{n'}$, alors :

$$\left| \frac{p}{q} - \frac{p'}{q'} \right| \geq \frac{1}{\max(q, q')}$$

De même pour des puissances de k quelconques.

En pratique, les entrées sont souvent des nombres :

- flottants ($k = 2$)
- décimaux ($k = 2, 5$)

BFMSS[k]

Idée générale :

extraire une "plus grande" puissance de k possible de $E = E'k^{v(E)}$.

On obtiendra une borne de séparation :

$$B(E) = B(E')k^{v(E)}$$

Pour BFMSS, on sépare en deux : $v = v^+ - v^-$ (avec $v^+ \geq 0, v^- \geq 0$).

$$U = k^{v^+} U'$$

$$L = k^{v^-} L'$$

BFMSS[k=2], règles

On applique les règles suivantes :

E	$u_2 = u_2(E)$	$l_2 = l_2(E)$
binary rational $n2^m$	$ n $	1
$E' \pm E''$	$2^{v'^+ + v''^- - v^+} u_2' l_2''$ $+ 2^{v'^- + v''^+ - v^+} l_2' u_2''$	$l_2' l_2''$
$E' \times E''$	$u_2' u_2''$	$l_2' l_2''$
$E' \div E''$	$u_2' l_2''$	$l_2' u_2''$
$\sqrt[p]{E'}, 2^{v'} u_2' \geq l_2'$	$\sqrt[p]{2^{\tilde{v} - pv^+} u_2' l_2'^{p-1}}$	l_2'
$\sqrt[p]{E'}, 2^{v'} u_2' < l_2'$	u_2'	$\sqrt[p]{2^{\tilde{v} - pv^-} u_2'^{p-1} l_2'}$

E	$v^+ = v^+(E)$	$v^- = v^-(E)$
binary rational $n2^m$	$\max(0, m)$	$\max(0, -m)$
$E' \pm E''$	$\min(v'^+ + v''^-,$ $v'^- + v''^+)$	$v'^- + v''^-$
$E' \times E''$	$v'^+ + v''^+$	$v'^- + v''^-$
$E' \div E''$	$v'^+ + v''^-$	$v'^- + v''^+$
$\sqrt[p]{E'}, 2^{v'} u_2' \geq l_2'$	$\lceil \tilde{v}/p \rceil$ where $\tilde{v} = v'^+ + (p-1)v'^-$	v'^-
$\sqrt[p]{E'}, 2^{v'} u_2' < l_2'$	v'^+	$\lceil \tilde{v}/p \rceil$ where $\tilde{v} = (p-1)v'^+ + v'^-$

Comparaison

$$\frac{B_2(E)}{B(E)} = 2^{v^+ D(E)}$$

Exemple : $\text{signe}(\sqrt{x} + \sqrt{y} - \sqrt{x + y + 2\sqrt{xy}})$?

Avec $x = \frac{a}{2^L}$ et $y = \frac{c}{2^L}$, a, c entiers $< 2^L$.

Bornes de séparation :

- BFMSS : $2^{-(96L+60)}$
- Li-Yap : $2^{-(28L+60)}$
- BFMSS[2] : $2^{-(7,5L+cste)}$

Déterminant

Matrice aléatoire avec entrées $x2^{-100}$, $|x| < 2^{100}$.

Déterminant calculé avec la méthode de programmation dynamique.

Bornes de séparations obtenues :

n	$(n!)nL$	BFMSS bitbound	nL	BFMSS[2] bitbound
2	400	164	200	101
3	1800	657	300	169
4	9600	2267	400	248
5	60,000	10,468	500	326

Implantation

Bibliothèques : **CORE** et **LEDA**.

CORE implante :

- $+$, $-$, \times , $/$, $\sqrt{\quad}$
- Fournit la meilleure borne parmi BFMSS[2], Li-Yap, Degree-Measure.
- Utilise GMP
- Utilise des filtres dynamiques pour éliminer les cas faciles.

Recherche actuelle : \diamond operator

Rajouter l'opération : extraction de racine de polynôme

- Uspensky/Descartes/Sturm pour isoler les racines
- Itérations de Newton pour obtenir plus de précision

Prototypes commencent à marcher. À venir : problèmes d'efficacité

- Quel pourrait être un bon filtre ? Analyse par intervalles ?

Remarque : coût de la représentation symbolique

Construire et stocker le DAG dans chaque prédicat a un coût.

Il est évité si on considère l'analyse d'un prédicat dans son ensemble.

L'information est alors "stockée dans le code".

L'autre extrême : les filtres

Optimiser les cas faciles

Bornes de séparation : traitent les cas les pires.

Cas attendu le plus souvent : cas "facile", à optimiser.

Contrôler les erreurs d'arrondis du calcul flottant \Rightarrow on ne fait plus que rarement du calcul exact coûteux

Dans les "bons cas", on obtient une solution **géométriquement exacte** pour le coût du calcul flottant.

Filtres dynamiques : arithmétique d'intervalles

Idée : on remplace chaque opération flottante par une opération sur un intervalle de flottants $[\underline{x}; \bar{x}]$ qui encode l'erreur d'arrondi.

Propriété d'inclusion : à chaque opération, l'intervalle contient la valeur exacte X .

Opérations : on utilise les modes d'arrondis IEEE 754 :

$$X + Y \longrightarrow [\underline{x} + \underline{y}; \bar{x} + \bar{y}]$$

$$X - Y \longrightarrow [\underline{x} - \bar{y}; \bar{x} - \underline{y}]$$

Optimisation :

$$X + Y \longrightarrow [-((-\underline{x}) - \bar{y}); \bar{x} + \bar{y}]$$

Moins de changements de modes d'arrondis.

Multiplication et division d'intervalles

Multiplication :

$$X \times Y \longrightarrow [\min(\underline{x}\underline{y}, \underline{x}\overline{y}, \overline{x}\underline{y}, \overline{x}\overline{y}); \max(\underline{x}\overline{y}, \overline{x}\underline{y}, \overline{x}\overline{y}, \underline{x}\underline{y})]$$

En pratique, on utilise des tests pour les différents cas **avant** de faire les multiplications.

Division : similaire.

Traitement de la division par zéro.

Comparaisons

Grâce à la **propriété d'inclusion**, si

$$[\underline{x}; \bar{x}] \cap [\underline{y}; \bar{y}] = \emptyset$$

alors on sait décider si $X < Y$ ou $X > Y$.

Sinon, on ne peut pas décider de la comparaison.

⇒ **Échec du filtre**

Filtres statiques

Analyse statique de la propagation d'erreur d'arrondi sur l'évaluation d'un polynôme, en supposant des bornes sur les entrées.

Notations : x est une variable réelle, \mathbf{x} sa valeur calculée avec des doubles, e_x et b_x sont des doubles tels que :

$$\begin{cases} e_x \geq |x - \mathbf{x}| \\ b_x \geq |\mathbf{x}| \end{cases}$$

Initialement, on peut obtenir par un arrondi au plus proche (si les valeurs ne tiennent pas exactement dans un double) :

$$\begin{cases} b_x = |\mathbf{x}| \\ e_x = \frac{1}{2}\text{ulp}(\mathbf{x}) \end{cases}$$

Addition et soustraction

La propagation d'erreur sur une addition $z = x + y$ est la suivante :

$$\begin{cases} b_z = b_x + b_y \\ e_z = e_x \bar{+} e_y \bar{+} \frac{1}{2}\text{ulp}(z) \end{cases}$$

En effet :

$$\begin{aligned} |z - \mathbf{z}| &= \left| \underbrace{(z - (x + y))}_{=0} + \underbrace{((x + y) - (x + y))}_{\leq e_x + e_y} + \underbrace{((x + y) - \mathbf{z})}_{\leq \frac{1}{2}\text{ulp}(z)} \right| \\ &\leq e_x \bar{+} e_y \bar{+} \frac{1}{2}\text{ulp}(z) \end{aligned}$$

Multiplication

La propagation d'erreur sur une multiplication $z = x \times y$ est la suivante :

$$\begin{cases} b_z = b_x \times b_y \\ e_z = e_x \bar{\times} e_y \bar{+} e_y \bar{\times} |x| \bar{+} e_x \bar{\times} |y| \bar{+} \frac{1}{2} \text{ulp}(z) \end{cases}$$

En effet :

$$\begin{aligned} |z - \mathbf{z}| &= \underbrace{|(z - (x \times y))|}_{=0} + \underbrace{|((x \times y) - (\mathbf{x} \times \mathbf{y}))|}_{=(x-x)(y-y) - (x-x) \times y - (y-y) \times x} + \underbrace{|((\mathbf{x} \times \mathbf{y}) - \mathbf{z})|}_{\leq \frac{1}{2} \text{ulp}(z)} \\ &\leq e_x \bar{\times} e_y \bar{+} e_x \bar{\times} y \bar{+} e_y \bar{\times} x \bar{+} \frac{1}{2} \text{ulp}(z) \end{aligned}$$

Application : prédicat orientation

Code flottant approché :

```
int orientation(double px, double py,
               double qx, double qy,
               double rx, double ry)
{
    double pqx = qx - px,  pqy = qy - py;
    double prx = rx - px,  pry = ry - py;

    double det = pqx * pry - pqy * prx;

    if (det > 0)  return 1;
    if (det < 0)  return -1;
    return 0;
}
```

Application : prédicat orientation

Code avec filtre statique (pour des entrées **bornées par 1**) :

```
int filtered_orientation(double px, double py,
                       double qx, double qy,
                       double rx, double ry)
{
    double pqx = qx - px,  pqy = qy - py;
    double prx = rx - px,  pry = ry - py;

    double det = pqx * pry - pqy * prx;

    const double E = 1.33292e-15;

    if (det > E)  return 1;
    if (det < -E) return -1;

    ... // can't decide => call the exact version
}
```

Variantes : Ex : calcul de la borne à l'exécution

```
int filtered_orientation(double px, double py,
                       double qx, double qy,
                       double rx, double ry)
{
    double b = max_abs(px, py, qx, qy, rx, ry);

    double pqx = qx - px,  pqy = qy - py;
    double prx = rx - px,  pry = ry - py;

    double det = pqx * pry - pqy * prx;

    const double E = 1.33292e-15;

    if (det > E*b*b) return 1;
    if (det < -E*b*b) return -1;

    ... // can't decide => call the exact version
}
```

Probabilités d'échec des filtres

Étude théorique : [Devillers-Preparata-99]

Entrées uniformément distribuées dans un carré/cube unitaire :

orientation 2D	10^{-15}
orientation 3D	5.10^{-14}
cocircularité 2D	10^{-11}
cosphéricité 3D	7.10^{-10}

... pour des données distribuées de manière homogène.

Sur des cas plus dégénérés

	Dynamique	Semi-statique
Aléatoire	0	870
$\varepsilon = 2^{-5}$	0	1942
$\varepsilon = 2^{-10}$	0	662
$\varepsilon = 2^{-15}$	0	8833
$\varepsilon = 2^{-20}$	0	132153
$\varepsilon = 2^{-25}$	10	192011
$\varepsilon = 2^{-30}$	19536	308522
Grille	49756	299505

Nombres d'échecs des filtres dynamiques et statiques pendant le calcul de Delaunay (10^5 points). Entrées sur une grille entière sur 30 bits, avec perturbation relative.

Comparison : filtres dynamique vs statique

Peut échouer plus souvent que l'arithmétique d'intervalles (moins précis), mais plus rapide.

Filtres statiques plus difficiles à faire : nécessite une analyse de chaque prédicat.

Schéma le plus rapide : **cascader** plusieurs méthodes.

Filtres : remarques

Fragile : essayer d'éviter des mauvais cas dans les algorithmes !

- Éviter les calculs **cascadés** (se baser sur les données initiales)
- Éviter de **tester les cas dégénérés** que vous connaissez (créés par l'algorithme).
- Éviter les **constructions**, car il y a de meilleures solutions pour les prédicats.

Travaux actuels

- Génération automatique de code, à partir de la version générique, pour les meilleures méthodes.
- Filtrage des constructions géométriques.
- Rounding des constructions.

Implantation dans CGAL

Algorithmes et classes de traits

Les **algorithmes** sont paramétrés (templates) par des **traits classes**, qui leur fournissent:

- les types d'objets que l'algorithme manipule : **Point_2**, **Tetrahedron_3**...
- les prédicats que l'algorithme applique dessus : **Orientation_2**, **Side_of_oriented_sphere_3**...
- les constructions : **Mid_point_2**, **Construct_circumcenter_3**, **Compute_squared_length_2**...

Les deux derniers sont fournis sous forme de **functors** (classes avec un fonction operator `operator()`), ce qui permet de passer un état.

On décrit les besoins d'un algorithm envers son paramètre de traits class comme un **concept**, dont une instance particulière possible est un **modèle**.

Noyaux

Le noyau rassemble beaucoup de types d'objets, de prédicats et de constructions, et peut servir de paramètre de traits classes directement à de nombreux algorithmes. Certains algorithmes doivent définir leur propre traits class.

Noyaux classiques, paramétrés par des types de nombres :

`Cartesian<FT>`

`Homogeneous<RT>`

Ex : `Triangulation_3<Cartesian<double> >`

`Cartesian<double>` est un modèle du concept `TriangulationTraits_3`.

La fonctionnalité du noyau est également accessible directement via des fonctions globales : `CGAL::orientation(p, q, r)`..

Types de nombres

Paramètres valides pour les noyaux Cartesian...

Flottants :
double, float

Multi-précision :
Gmpz, Gmpq, CGAL::MP_Float, leda::integer...

Types de nombres incluant du filtrage :
leda::real, CORE::Expr, CGAL::Lazy_exact_nt<>

Outils internes

Arithmétique d'intervalles: `CGAL::Interval_nt`, `boost::interval`

Générateur de prédicat filtré (dynamique) utilisant les exceptions C++ :
`CGAL::Filtered_predicate<>`

Noyaux filtrés

`CGAL::Filtered_kernel` < K > fournit certains prédicats avec des filtres statiques, et tous les autres avec des filtres dynamiques.

Noyaux recommandés :

`CGAL::Exact_predicates_exact_constructions_kernel`

`CGAL::Exact_predicates_inexact_constructions_kernel`